

## Capítulo VII

### CAMPO MAGNÉTICO ESTACIONÁRIO

#### 7.1 – LEI DE BIOT-SAVART

O campo magnético  $d\vec{H}$  produzido pelo elemento de corrente contínua  $I d\vec{L}$  no ponto P (ver figura) é:

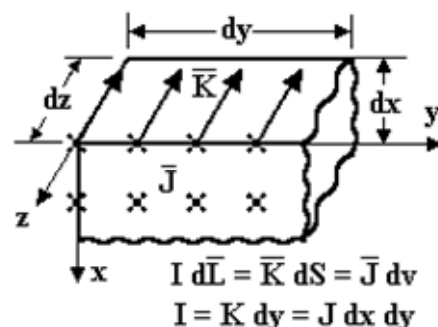
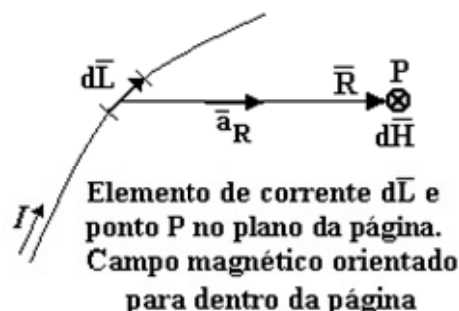
$$d\vec{H} = \frac{I d\vec{L} \times \vec{a}_R}{4\pi R^2} \Rightarrow \vec{H} = \oint \frac{I d\vec{L} \times \vec{a}_R}{4\pi R^2} \quad (\text{A/m})$$

onde

$$I d\vec{L} = \vec{K} dS = \vec{J} dv \quad (\text{ver figura})$$

$$K = \frac{dI}{dL} = \text{densidade superficial de corrente (A/m)}$$

$$J = \frac{dI}{dS} = \text{densidade (volumétrica) de corrente (A/m}^2\text{)}$$

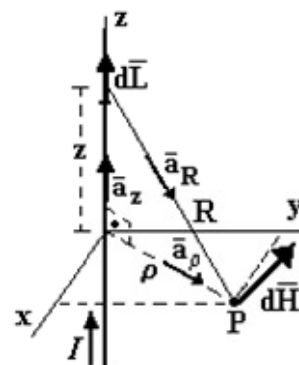


**Exemplo:** Calcular o campo magnético  $\vec{H}$  num ponto P devido a um filamento retilíneo infinito com corrente  $I$ .

**Solução:** 
$$d\vec{H} = \frac{I dz \vec{a}_z \times (\rho \vec{a}_\rho - z \vec{a}_z)}{4\pi(\rho^2 + z^2)^{3/2}} = \frac{I dz \rho \vec{a}_\phi}{4\pi(\rho^2 + z^2)^{3/2}}$$

$$\vec{H} = \frac{I \rho}{4\pi} \int_{-\infty}^{+\infty} \frac{dz \vec{a}_\phi}{(\rho^2 + z^2)^{3/2}} = \frac{I \rho}{4\pi} \left[ \frac{z \vec{a}_\phi}{\rho^2 (\rho^2 + z^2)^{1/2}} \right]_{-\infty}^{+\infty}$$

$$\vec{H} = \frac{I}{2\pi \rho} \vec{a}_\phi$$



#### 7.2 – LEI CIRCITAL DE AMPÈRE (CAMPO MAGNÉTICO ESTACIONÁRIO)

“A integral de linha de  $H$  ao longo de qualquer percurso fechado é exatamente igual à corrente enlaçada pelo percurso”. A expressão matemática é dada por:

$$\oint \vec{H} \cdot d\vec{L} = I \quad (I = \text{corrente total enlaçada, sentido convencional})$$

**Amperiana (def.):** É um percurso (caminho) especial com as seguintes propriedades:

- (i) É um percurso fechado;
- (ii) Em cada um de seus pontos  $\vec{H}$  é tangencial ou  $\vec{H}$  é normal ao percurso. Assim,
  - se  $\vec{H} \perp d\vec{L} \Rightarrow \vec{H} \cdot d\vec{L} = 0$ ; (Neste caso  $\vec{H}$  é normal à amperiana)
  - se  $\vec{H} \parallel d\vec{L} \Rightarrow \vec{H} \cdot d\vec{L} = H dL$  (Neste caso  $\vec{H}$  é tangencial à amperiana)
- (iii) Em todos os pontos onde  $\vec{H} \parallel d\vec{L}$ , a magnitude de  $\vec{H}$  é constante.

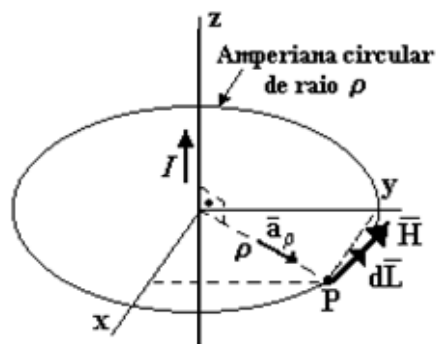
**Cálculo de  $\vec{H}$ , aplicando a lei circuital de Ampère (e amperiana), para alguns casos especiais:**

**a) Condutor retilíneo  $\infty$  com corrente  $I$**

$$\oint \vec{H} \cdot d\vec{L} = I_{\text{enlaçada}}$$

$$\int_{\phi=0}^{2\pi} H_{\phi} \vec{a}_{\phi} \cdot \rho d\phi \vec{a}_{\phi} = I \Rightarrow H_{\phi} \rho \int_0^{2\pi} d\phi = I$$

$$H_{\phi} = \frac{I}{2\pi\rho} \Rightarrow \boxed{\vec{H} = \frac{I}{2\pi\rho} \vec{a}_{\phi}}$$

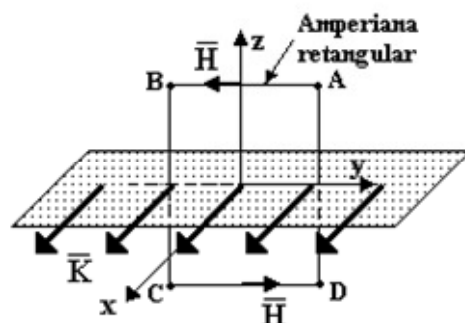


**b) Película plana  $\infty$  com corrente com densidade superficial uniforme  $\vec{K} = K_x \vec{a}_x$**

$$\oint \vec{H} \cdot d\vec{L} = I_{\text{enlaçada}}$$

$$\int_A^B + \int_B^C + \int_C^D + \int_D^A \vec{H} \cdot d\vec{L} = \int_0^L K_x dy$$

$$H_y L + 0 + H_y L + 0 = K_x L \Rightarrow \boxed{H_y = K_x / 2}$$



**Nota:** Forma geral para obtenção do campo  $\vec{H}$  devido a uma película plana  $\infty$  com corrente uniforme:

$$\boxed{\vec{H} = \frac{1}{2} \vec{K} \times \vec{a}_n} \quad (\vec{H} \text{ independe da distância})$$

onde  $\vec{a}_n$  é versor normal ao plano orientado para o lado que se deseja obter  $\vec{H}$ .

$$\text{Ex.: Acima do plano da figura anterior: } \vec{H} = \frac{1}{2} K_x \vec{a}_x \times \vec{a}_z = \frac{1}{2} K_x (-\vec{a}_y) = -\frac{1}{2} K_x \vec{a}_y = \vec{H}_y$$

**Atenção:** Provar que o campo magnético  $\vec{H}$  na região entre 2 superfícies infinitas condutoras e paralelas com densidades de corrente uniformes iguais e de sentidos opostos é dado por:

$$\boxed{\vec{H} = \vec{K} \times \vec{a}_n} \quad (\vec{H} = 0 \text{ nas regiões externas às 2 superfícies})$$

**c) Linha de transmissão coaxial com corrente total  $+I$  uniformemente distribuída no condutor central e  $-I$  no condutor externo**

$$\oint \vec{H} \cdot d\vec{L} = I_{\text{enlaçada}} \text{ onde } \vec{H} = H_{\phi} \vec{a}_{\phi} \text{ e } d\vec{L} = \rho d\phi \vec{a}_{\phi}$$

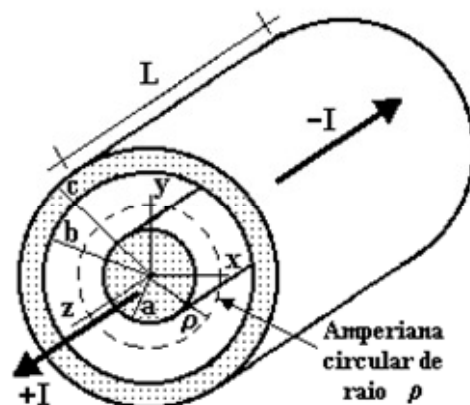
Para uma amperiana circular de raio  $\rho$ , tal que:

$$\rho < a \Rightarrow H_{\phi} = I \frac{\rho}{2\pi a^2} \text{ (no condutor central)}$$

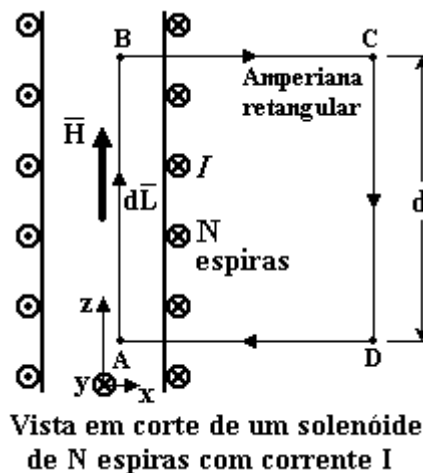
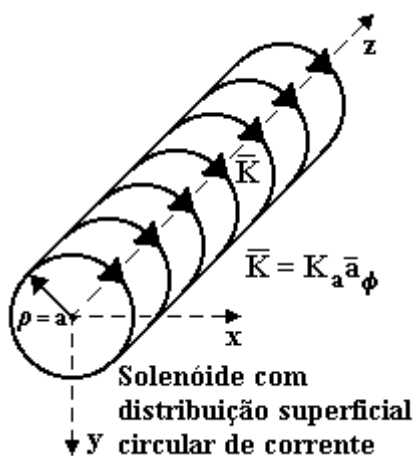
$$a < \rho < b \Rightarrow H_{\phi} = \frac{I}{2\pi\rho} \text{ (no dielétrico)}$$

$$b < \rho < c \Rightarrow H_{\phi} = \frac{I}{2\pi\rho} \frac{c^2 - \rho^2}{c^2 - b^2} \text{ (condutor externo)}$$

$$\rho > c \Rightarrow H_{\phi} = 0 \text{ (fora: blindagem magnética)}$$



d) Solenóide de comprimento  $\infty$  com uma distribuição superficial de corrente  $\vec{K} = K_a \vec{a}_\phi$



Para o solenóide infinitamente longo e a amperiana retangular ABCD temos:

$$\oint \vec{H} \cdot d\vec{L} = I_{\text{enlaçada}} \Rightarrow \int_A^B + \int_B^C + \int_C^D + \int_D^A \vec{H} \cdot d\vec{L} = \int_0^d K_a dL \Rightarrow Hd + 0 + 0 + 0 = K_a d$$

Portanto:  $H = K_a \Rightarrow \vec{H} = K_a \vec{a}_z$

Se o solenóide for de comprimento finito  $d$  com  $N$  espiras nas quais flui uma corrente  $I$ , temos:

$$K_a = \frac{NI}{d} \Rightarrow \vec{H} = \frac{NI}{d} \vec{a}_z \quad (\text{Bem dentro do solenóide})$$

e) Toróide ideal com distribuição superficial de corrente  $\vec{K} = K_a \vec{a}_z$  em  $\rho = \rho_0 - a$ ,  $z = 0$ , sendo  $\rho_0$  o raio médio e  $a$  o raio da seção transversal do anel toroidal

$$\oint \vec{H} \cdot d\vec{L} = I_{\text{enlaçada}} \quad (\text{Lei circuital de Ampère})$$

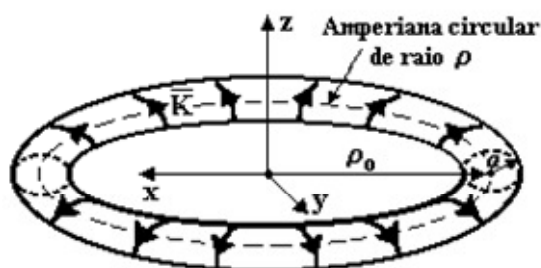
Para uma amperiana circular de raio  $\rho$ , tal que:

$$\rho < \rho_0 - a \Rightarrow H_\phi = 0 \quad (\text{fora do anel})$$

$$\rho_0 - a < \rho < \rho_0 + a \Rightarrow H_\phi = K_a \frac{\rho_0 - a}{\rho}$$

Vetorialmente:  $\vec{H}_\phi = K_a \frac{\rho_0 - a}{\rho} \vec{a}_\phi$

$$\rho > \rho_0 + a \Rightarrow H_\phi = 0 \quad (\text{fora do anel})$$



Anel toroidal de raio médio  $\rho_0$  e raio de seção reta  $a$  e corrente uniformemente distribuída com densidade superficial  $K_a$

Se este toróide possuir  $N$  espiras nos quais flui uma corrente  $I$ , temos:

$$K_a = \frac{NI}{2\pi(\rho_0 - a)} \Rightarrow \vec{H} = \frac{NI}{2\pi\rho} \vec{a}_\phi \quad (\text{Bem dentro do toróide})$$



### 7.3 – ROTACIONAL

Seja um vetor (ou campo vetorial) qualquer expresso por:  $\vec{A} = A_x \vec{a}_x + A_y \vec{a}_y + A_z \vec{a}_z$

**Definição:** A componente do rotacional de  $\vec{A}$  na direção da normal (versor  $\vec{a}_n$ ) de uma área  $\Delta S$  é expressa por:

$$(\text{rot.}\vec{A}) \cdot \vec{a}_n = \lim_{\Delta S \rightarrow 0} \frac{\oint \vec{A} \cdot d\vec{L}}{\Delta S}$$

$d\vec{L}$  = vetor diferencial de comprimento integrado ao longo do perímetro da área  $\Delta S$

Para determinar uma expressão matemática para o rotacional no sistema de coordenadas cartesianas, seja o vetor  $\vec{A}$  aplicado no vértice da área  $\Delta S = \Delta y \Delta z$  que se situa mais próximo da origem, ou vértice 1 da figura mostrada ao lado.

Neste caso, pela definição acima, temos:

$$(\text{rot.}\vec{A}) \cdot \vec{a}_x = \lim_{\Delta y \Delta z \rightarrow 0} \frac{\oint_{12341} \vec{A} \cdot d\vec{L}}{\Delta y \Delta z}$$

Desenvolvendo separadamente  $\oint_{12341} \vec{A} \cdot d\vec{L}$ , temos:

$$\oint_{12341} \vec{A} \cdot d\vec{L} = \int_1^2 + \int_2^3 + \int_3^4 + \int_4^1 \vec{A} \cdot d\vec{L}$$

$$\oint_{12341} \vec{A} \cdot d\vec{L} \cong A_y \Delta y + \left( A_z + \frac{\partial A_z}{\partial y} \Delta y \right) \Delta z - \left( A_y + \frac{\partial A_y}{\partial z} \Delta z \right) \Delta y - A_z \Delta z$$

$$\oint_{12341} \vec{A} \cdot d\vec{L} \cong \left( \frac{\partial A_z}{\partial y} - \frac{\partial A_y}{\partial z} \right) \Delta y \Delta z$$

Substituindo acima, obtemos, no limite, a componente do rotacional de  $\vec{A}$  na direção do eixo x:

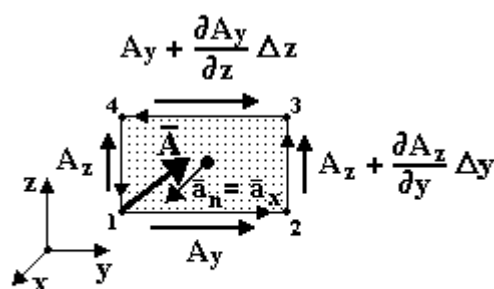
$$(\text{rot.}\vec{A}) \cdot \vec{a}_x = \left( \frac{\partial A_z}{\partial y} - \frac{\partial A_y}{\partial z} \right)$$

Semelhantemente, obtemos as componentes do rotacional de  $\vec{A}$  nas direções dos eixos y e z, isto é:

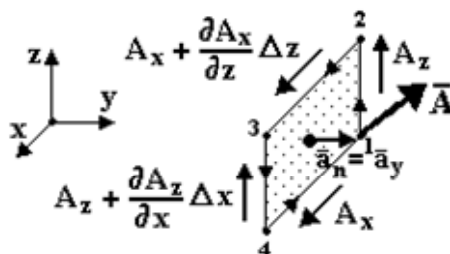
$$(\text{rot.}\vec{A}) \cdot \vec{a}_y = \left( \frac{\partial A_x}{\partial z} - \frac{\partial A_z}{\partial x} \right) \quad (\text{ver figura})$$

$$(\text{rot.}\vec{A}) \cdot \vec{a}_z = \left( \frac{\partial A_y}{\partial x} - \frac{\partial A_x}{\partial y} \right) \quad (\text{ver figura})$$

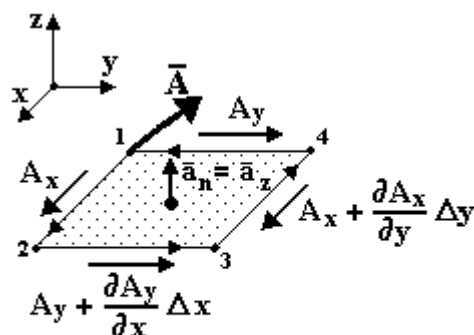
Combinando os 3 componentes (na forma vetorial), chegamos ao vetor que representa o rotacional de  $\vec{A}$ , sendo expresso por:



Cálculo da componente do rotacional de  $\vec{A}$  na direção do versor  $\vec{a}_n = \vec{a}_x$



Cálculo da componente do rotacional de  $\vec{A}$  na direção do versor  $\vec{a}_n = \vec{a}_y$



Cálculo da componente do rotacional de  $\vec{A}$  na direção do versor  $\vec{a}_n = \vec{a}_z$



$$\text{rot.}\vec{A} = \left( \frac{\partial A_z}{\partial y} - \frac{\partial A_y}{\partial z} \right) \vec{a}_x + \left( \frac{\partial A_x}{\partial z} - \frac{\partial A_z}{\partial x} \right) \vec{a}_y + \left( \frac{\partial A_y}{\partial x} - \frac{\partial A_x}{\partial y} \right) \vec{a}_z$$

Para o vetor campo magnético  $\vec{H} = H_x \vec{a}_x + H_y \vec{a}_y + H_z \vec{a}_z$  e usando a notação de rotacional com o vetor nabla, pode-se escrever:

$$\text{rot.}\vec{H} = \vec{\nabla} \times \vec{H}$$

Em coordenadas cartesianas, e somente neste sistema de coordenadas, o rotacional de um vetor pode ser obtido através do seguinte determinante:

$$\vec{\nabla} \times \vec{H} = \begin{vmatrix} \vec{a}_x & \vec{a}_y & \vec{a}_z \\ \partial/\partial x & \partial/\partial y & \partial/\partial z \\ H_x & H_y & H_z \end{vmatrix}$$

**Nota:** Ver no FORMULÁRIO GERAL as outras expressões do rotacional ( $\vec{\nabla} \times \vec{H}$ ) nos sistemas de coordenadas cilíndricas e esféricas.

Aplicando novamente a definição do cálculo da componente do rotacional na direção do eixo x, porém agora para o vetor campo magnético, e considerando a lei circuital de Ampère, obtemos:

$$(\text{rot.}\vec{H}) \cdot \vec{a}_x = \lim_{\Delta y \Delta z \rightarrow 0} \frac{\oint_{12341} \vec{H} \cdot d\vec{L}}{\Delta y \Delta z} = \lim_{\Delta y \Delta z \rightarrow 0} \frac{\Delta I_x}{\Delta y \Delta z} = J_x$$

Onde  $\Delta I_x$  = corrente envolvida pelo percurso 12341, ou corrente que atravessa a área  $\Delta S_x = \Delta y \Delta z$ .

De maneira análoga, obtém-se:

$$(\text{rot.}\vec{H}) \cdot \vec{a}_y = J_y$$

$$(\text{rot.}\vec{H}) \cdot \vec{a}_z = J_z$$

Daí, concluímos que o rotacional do vetor campo magnético resulta (na magnetostática) no vetor densidade de corrente, ou seja:

$$\vec{\nabla} \times \vec{H} = \vec{J}$$

(Forma pontual da lei circuital de Ampère)

### Propriedades do operador rotacional:

1) A divergência do rotacional de qualquer função ou campo vetorial é sempre nula.

$$\vec{\nabla} \cdot (\vec{\nabla} \times \vec{A}) = 0$$

Seja, por exemplo,  $\vec{A} = \vec{H}$ . Da expressão  $\vec{\nabla} \times \vec{H} = \vec{J}$  chegamos a  $\vec{\nabla} \cdot \vec{J} = 0$ .

2) O rotacional do gradiente de qualquer função ou campo escalar é sempre nulo.

$$\vec{\nabla} \times (\vec{\nabla} f) = 0$$

Seja, por exemplo,  $f = -V$ . Da expressão  $\vec{E} = -\vec{\nabla} V$  chegamos a  $\vec{\nabla} \times \vec{E} = 0$ .

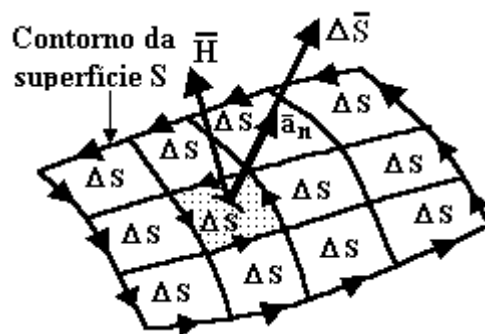
## 7.4 – TEOREMA DE STOKES

Pela definição de rotacional, temos:

$$\frac{\oint \vec{H} \cdot d\vec{L}_{\Delta S}}{\Delta S} \approx (\vec{\nabla} \times \vec{H}) \cdot \vec{a}_n$$

$$\oint \vec{H} \cdot d\vec{L}_{\Delta S} \approx (\vec{\nabla} \times \vec{H}) \cdot \vec{a}_n \Delta S$$

$$\oint \vec{H} \cdot d\vec{L}_{\Delta S} \approx (\vec{\nabla} \times \vec{H}) \cdot d\vec{S}$$



Somando a circulação de todos os  $\Delta S$  da superfície  $S$ , chegamos na expressão matemática do teorema de Stokes:

$$\boxed{\oint_C \vec{H} \cdot d\vec{L} = \int_S (\vec{\nabla} \times \vec{H}) \cdot d\vec{S}}$$

- Notas:**
- 1 - O contorno  $C$  envolve a superfície  $S$ . Os vetores  $d\vec{L}$  (de  $C$ ) e  $d\vec{S}$  devem satisfazer a “regra da mão direita” (com o polegar apontando  $d\vec{S}$  e os outros dedos apontando  $d\vec{L}$ );
  - 2 - O teorema de Stokes é válido para qualquer campo vetorial, e não somente o campo  $\vec{H}$ .

## 7.5 – FLUXO MAGNÉTICO ( $\Phi$ ) E DENSIDADE DE FLUXO MAGNÉTICO ( $\vec{B}$ )

A densidade de fluxo magnético  $\vec{B}$  é definida para o vácuo de permeabilidade magnética  $\mu_0$  (sendo  $\mu_0 = 4\pi \times 10^{-7} \text{ H/m}$ ) e o campo magnético  $\vec{H}$ , como:

$$\boxed{\vec{B} = \mu_0 \vec{H}} \quad (\text{Unidade: Wb/m}^2)$$

**Nota:**  $\vec{B}$  é definido em outros meios somente a partir da seção 8.6 desta apostila.

O fluxo magnético  $\Phi$  que atravessa uma área  $S$  é obtido integrando  $\vec{B}$  sobre a área  $S$ , isto é:

$$\boxed{\Phi = \int_S \vec{B} \cdot d\vec{S}} \quad (\text{Unidade: Wb})$$

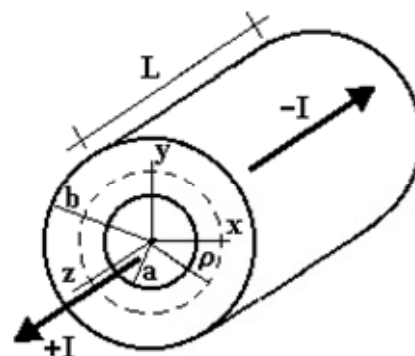
**Exemplo:** Calcular o fluxo magnético  $\Phi$  entre o condutor interno (raio  $\rho = a$ ) e o condutor externo (raio  $\rho = b$ ) de uma linha coaxial de comprimento  $L$  no vácuo.

**Solução:**  $\vec{H} = \frac{I}{2\pi\rho} \vec{a}_\phi$  na região  $a < \rho < b$

$$\vec{B} = \mu \vec{H} = \frac{\mu I}{2\pi\rho} \vec{a}_\phi$$

$$\Phi = \int_S \vec{B} \cdot d\vec{S} = \int_0^L \int_a^b \frac{\mu I}{2\pi\rho} \vec{a}_\phi \cdot d\rho dz \vec{a}_\phi$$

$$\boxed{\Phi = \frac{\mu I L}{2\pi} \ln \frac{b}{a}} \quad [\text{Wb}]$$





*Analogias entre as equações da eletrostática e da magnetostática*

ELETROSTÁTICA	MAGNETOSTÁTICA
1) <i>Densidade de fluxo elétrico</i> $\vec{D} = \epsilon_0 \vec{E}$ (no vácuo)	1) <i>Densidade de fluxo magnético</i> $\vec{B} = \mu_0 \vec{H}$ (no vácuo)
2) <i>Fluxo elétrico</i> $\Psi = \int_S \vec{D} \cdot d\vec{S}$	2) <i>Fluxo magnético</i> $\Phi = \int_S \vec{B} \cdot d\vec{S}$
3) <i>Lei de Gauss da eletrostática</i> $\Psi_T = \oint_S \vec{D} \cdot d\vec{S} = Q_{\text{int}}$	3) <i>Lei de Gauss da magnetostática</i> $\oint_S \vec{B} \cdot d\vec{S} = 0$
4) <i>Divergência da densidade de fluxo elétrico</i> $\vec{\nabla} \cdot \vec{D} = \rho_v$	4) <i>Divergência da densidade de fluxo magnético</i> $\vec{\nabla} \cdot \vec{B} = 0$
5) <i>Rotacional do campo elétrico</i> $\vec{\nabla} \times \vec{E} = 0$	5) <i>Rotacional do campo magnético</i> $\vec{\nabla} \times \vec{H} = \vec{J}$
6) <i>Circulação do campo elétrico</i> $\oint \vec{E} \cdot d\vec{L} = 0$	6) <i>Circulação do campo magnético</i> $\oint \vec{H} \cdot d\vec{L} = I = \int_S \vec{J} \cdot d\vec{S}$

## 7.6 – POTENCIAIS ESCALAR E VETOR MAGNÉTICOS

O potencial escalar magnético  $V_m$  é definido, analogamente ao potencial eletrostático, a partir de:

$$\boxed{\vec{H} = -\vec{\nabla} V_m} \quad (\text{Unidade de } V_m: \text{ A ou Aespira})$$

Esta expressão é definida somente na região onde  $\vec{J} = 0$ . (Por quê?)

Outras expressões (obtidas por analogia com o potencial eletrostático):

$$\vec{\nabla}^2 V_m = 0 \quad \text{em} \quad \vec{J} = 0 \quad (\text{Equação de Laplace para materiais homogêneos magnetizáveis})$$

$$V_{m,ab} = -\int_b^a \vec{H} \cdot d\vec{L} \quad (\text{Depende de percurso específico para ir de "b" até "a"})$$

O potencial vetor magnético  $\vec{A}$  é um campo vetorial tal que:

$$\boxed{\vec{B} = \vec{\nabla} \times \vec{A}} \quad \text{que satisfaz} \quad \vec{\nabla} \cdot \vec{B} = 0 \quad (\text{Unidade de } \vec{A}: \text{ Wb/m})$$

Outras expressões (obtidas por analogia com o potencial eletrostático):

$$\vec{A} = \int \frac{\mu I d\vec{L}}{4\pi R} \quad (\text{Comparar com } V = \int \frac{\rho_L dL}{4\pi \epsilon R}. \text{ Note que a direção de } \vec{A} \text{ é a mesma de } d\vec{L})$$

$$\vec{\nabla}^2 \vec{A} = -\mu \vec{J} \quad (\text{Comparar com a Equação de Poisson } \vec{\nabla}^2 V = -\frac{\rho_v}{\epsilon})$$

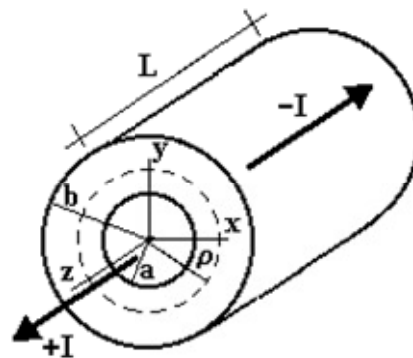


**Exemplo:** Para a região entre o condutor interno (raio  $\rho = a$ ) e o condutor externo (raio  $\rho = b$ ) da linha (ou cabo) coaxial do exemplo anterior, calcular:

(a)  $V_m$  por  $\vec{H} = -\vec{\nabla}V_m$

(b)  $V_{mP} = - \int_{Ref}^P \vec{H} \cdot d\vec{L}$

(c)  $\vec{A}$  por  $\vec{\nabla} \times \vec{A} = \vec{B}$



**Solução:**

$$(a) \quad \vec{H} = -\vec{\nabla}V_m \Rightarrow \frac{I}{2\pi\rho} \vec{a}_\phi = -\frac{1}{\rho} \frac{\partial V_m}{\partial \phi} \vec{a}_\phi \Rightarrow \frac{dV_m}{d\phi} = -\frac{I}{2\pi} \Rightarrow V_m = -\frac{I}{2\pi} \phi + C$$

Adotando  $V_m = 0$  em  $\phi = 0$  (referência), obtemos  $C = 0 \Rightarrow \boxed{V_m = -\frac{I}{2\pi} \phi}$

Seja um ponto  $P(a < \rho < b, \phi = \pi/4, z)$  situado na região entre os condutores (dielétrico) do cabo coaxial. Este pode ser atingido de várias maneiras, partindo da referência, mantendo os mesmos valores de  $\rho$  e  $z$ , e deslocando-se de um ângulo  $\phi = \pm 2n\pi + \pi/4$ , isto é,  $\phi = \pi/4, 9\pi/4, 17\pi/4, \dots$ , no sentido anti-horário, ou,  $\phi = -7\pi/4, -15\pi/4, \dots$  no sentido horário.

Assim, o potencial  $V_{mP}$ , com relação a referência de potencial zero em  $\phi = 0$ , possui múltiplos valores em  $P$ , dependendo do percurso usado para chegar até  $P$ . Por exemplo:

$$V_{mP} = -\frac{I}{2\pi} \left( \frac{\pi}{4} \right) \text{ ou } V_{mP} = -\frac{I}{2\pi} \left( \frac{9\pi}{4} \right) \text{ ou } V_{mP} = -\frac{I}{2\pi} \left( \frac{-7\pi}{4} \right), \text{ etc...}$$

Pode-se concluir daí que *o potencial escalar magnético representa um campo não-conservativo*. Lembre-se que o potencial eletrostático entre 2 pontos não depende do percurso ou caminho entre estes, representando assim um campo conservativo.

(b) Adotando  $V_m = 0$  em  $\phi = 0$  (referência), o potencial no ponto  $P(a < \rho < b, \phi, z)$  é:

$$V_{mP} = - \int_{Ref}^P \vec{H} \cdot d\vec{L} \Rightarrow V_{mP} = - \int_{\phi=0}^{\phi} \frac{I}{2\pi\rho} \vec{a}_\phi \cdot \rho d\phi \vec{a}_\phi = -\frac{I}{2\pi} \int_{\phi=0}^{\phi} d\phi \Rightarrow \boxed{V_{mP} = -\frac{I}{2\pi} \phi}$$

(c)  $\vec{\nabla} \times \vec{A} = \vec{B} \Rightarrow \left( \frac{\partial A_\rho}{\partial z} - \frac{\partial A_z}{\partial \rho} \right) \vec{a}_\phi = \mu \frac{I}{2\pi\rho} \vec{a}_\phi \Rightarrow -\frac{\partial A_z}{\partial \rho} = \mu \frac{I}{2\pi\rho}$

Integrando:  $\int \partial A_z = -\mu \frac{I}{2\pi} \int \frac{\partial \rho}{\rho} \Rightarrow A_z = -\frac{\mu I}{2\pi} \ln \rho + C$

Tomando  $A_z = 0$  em  $\rho = b$  (referência), obtemos:  $C = \frac{\mu I}{2\pi} \ln b \Rightarrow A_z = \frac{\mu I}{2\pi} \ln \frac{b}{\rho}$

Vetorialmente:  $\boxed{\vec{A} = A_z \vec{a}_z = \frac{\mu I}{2\pi} \ln \frac{b}{\rho} \vec{a}_z}$

**Atenção:** Note que  $\vec{A}$  tem o mesmo sentido de  $\vec{a}_z$  (sentido da corrente no condutor central pois  $\rho < b$ ). Também  $\vec{A}$  decresce com o aumento de  $\rho$  desde  $\rho = a$  até  $\rho = b$ .





## 7.7 – EXERCÍCIOS PROPOSTOS

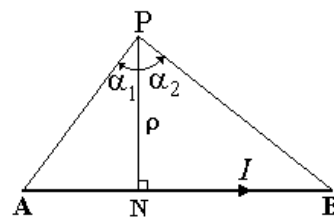
- 7.1) a) Demonstrar que o campo magnético  $\vec{H}$  num ponto P devido a um filamento retilíneo de comprimento finito (extremidades A e B), com corrente  $I$  no sentido indicado, é dado por:

$$\vec{H} = \frac{I}{4\pi\rho} (\sin\alpha_1 + \sin\alpha_2) \vec{a}_\phi, \text{ sendo:}$$

$\alpha_1, \alpha_2$  = ângulos positivos medidos conforme indicados,

$\vec{a}_\phi$  = vetor unitário que define o sentido do campo no pto P,

$\rho$  = menor distância, na perpendicular, do ponto P ao segmento AB ou ao seu prolongamento.



- b) A partir da expressão de  $\vec{H}$  acima, determinar seus valores nos pontos C(0, 4, 0), D(3, 4, 0) e E(-3, 4, 0), se o filamento for colocado sobre o eixo x, com suas extremidades A e B posicionadas, respectivamente, em (-3, 0, 0) e (3, 0, 0).
- c) A partir da expressão de  $\vec{H}$  acima, determinar seus valores nos mesmos pontos C, D e E, com o filamento sobre o eixo x, porém, agora com sua extremidade A posicionada na origem e sua extremidade B estendendo ao infinito.

Respostas: a) Demonstração;

$$b) \vec{H}_C = \frac{3I}{40\pi} \vec{a}_z \text{ [A/m]}, \vec{H}_D = \frac{3I\sqrt{13}}{208\pi} \vec{a}_z \text{ [A/m]}, \vec{H}_E = \frac{3I\sqrt{13}}{208\pi} \vec{a}_z \text{ [A/m]};$$

$$c) \vec{H}_C = \frac{I}{16\pi} \vec{a}_z \text{ [A/m]}, \vec{H}_D = \frac{I}{10\pi} \vec{a}_z \text{ [A/m]}, \vec{H}_E = \frac{I}{40\pi} \vec{a}_z \text{ [A/m]};$$

- 7.2) Um filamento de corrente muito longo está situado sobre a reta  $x = 5$  e  $z = 0$ , possuindo uma corrente de  $20\pi$  [A], orientada no sentido positivo do eixo y. Determinar o campo magnético  $\vec{H}$  (na forma vetorial) nos seguintes pontos:

- a) O(0,0,0); b) P(0,0,5); c) Q(5,0,5); d) S(5,5,5).

Respostas: a)  $\vec{H}_O = 2\vec{a}_z$  [A/m]; b)  $\vec{H}_P = \vec{a}_x + \vec{a}_z$  [A/m];

$$c) \vec{H}_Q = 2\vec{a}_x \text{ [A/m]}; d) \vec{H}_S = 2\vec{a}_x \text{ [A/m]}.$$

- 7.3) Uma corrente filamentar  $I$ , no vácuo, sobre o eixo z, flui no sentido positivo do eixo. Seja um percurso retangular ABCDA sobre o plano  $z = 0$ , com vértices nos pontos A(a,a,0), B(-a,a,0), C(-a,-a,0) e D(a,-a,0). Determinar, para este percurso e utilizando o menor caminho, os seguintes valores:

- a)  $V_{mAB}$ ; b)  $V_{mBC}$ ; c)  $V_{mCD}$ ; d)  $V_{mDA}$ ;  
e)  $V_{mAB} + V_{mBC} + V_{mCD} + V_{mDA} \rightarrow$  Concluir a respeito do valor obtido;  
f)  $V_{mAC}$  por 2 caminhos (via B e depois via D)  $\rightarrow$  Comparar os valores e concluir a respeito.

$$\text{Respostas: a) } V_{mAB} = \frac{I}{4}; b) V_{mBC} = \frac{I}{4}; c) V_{mCD} = \frac{I}{4}; d) V_{mDA} = \frac{I}{4};$$

$$e) V_{mAB} + V_{mBC} + V_{mCD} + V_{mDA} = I = \text{corrente enlaçada};$$

$$f) V_{mAC1} = \frac{I}{2} \neq V_{mAC2} = -\frac{I}{2} \Rightarrow \text{Logo o sistema não é conservativo.}$$

- 7.4) Encontre a indução magnética no centro de um triângulo equilátero de lado  $a$ , conduzindo uma corrente  $I$ .

$$\text{Resposta: } B = \frac{9I\mu_0}{2\pi a}.$$



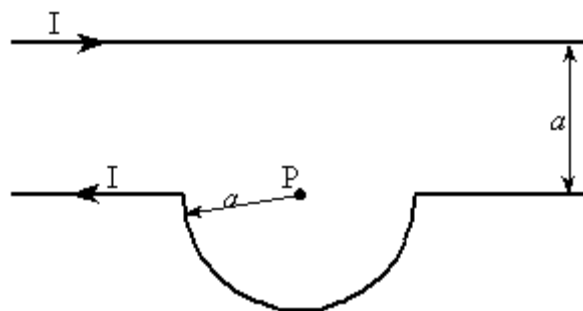
- 7.5) Um toróide no espaço livre com seção transversal retangular é formado pela interseção dos planos  $z = 0$  e  $z = 3$  [cm] e os cilindros  $\rho = 5$  [cm] e  $\rho = 7,5$  [cm]. Uma densidade superficial de corrente flui na superfície interna do toróide sendo dada por  $\vec{K}_{\text{int}} = 300\vec{a}_z$  [A/m]. Determinar:

- O valor total da corrente  $I_{\text{total}}$  na superfície interna do toróide;
- As densidades superficiais de corrente (forma vetorial) nas outras 3 superfícies do toróide, identificando-as por  $\vec{K}_{\text{ext}}$ ,  $\vec{K}_{\text{topo}}$  e  $\vec{K}_{\text{base}}$ ;
- O campo magnético  $\vec{H}$  dentro do toróide;
- O fluxo magnético total  $\Phi_{\text{total}}$  que circula dentro do toróide.

Respostas: a)  $I_{\text{total}} = 30\pi$  [A]; b)  $\vec{K}_{\text{ext}} = -200\vec{a}_z$  [A/m],  $\vec{K}_{\text{topo}} = \frac{15}{\rho}\vec{a}_\rho$  [A/m],

$$\vec{K}_{\text{base}} = -\frac{15}{\rho}\vec{a}_\rho$$
 [A/m]; c)  $\vec{H} = \frac{15}{\rho}\vec{a}_\phi$  [A/m]; d)  $\Phi_{\text{total}} = 0,23$  [ $\mu\text{Wb}$ ].

- 7.6) Calcular o campo magnético  $\vec{H}$  no ponto P da figura, admitindo que os fios são muito longos.



Resposta:  $\vec{H} = \frac{I}{2a} \cdot \left( \frac{1}{2} + \frac{1}{\pi} \right) \vec{a}_z$

- 7.7) Dado  $\vec{H} = yz^2\vec{a}_x + 2(x+1)y^2z\vec{a}_y - (x+1)z^2\vec{a}_z$

- Determinar  $\oint \vec{H} \cdot d\vec{L}$  ao longo do contorno quadrado indo de P(0, 2, 0) a A(0, 2+b, 0) a B(0, 2+b, b) a C(0, 2, b) a P(0, 2, 0);
- Determinar  $\vec{\nabla} \times \vec{H}$ ;

c) Mostrar que  $\left| (\vec{\nabla} \times \vec{H})_x \right| = \lim_{\Delta S \rightarrow 0} \left[ \frac{\oint \vec{H} \cdot d\vec{L}}{\Delta S} \right]$  em P.

Respostas: a)  $\oint \vec{H} \cdot d\vec{L} = -8b^2 - 4b^3 - \frac{2b^4}{3}$ ;

b)  $\vec{\nabla} \times \vec{H} = (-2(x+1)y^2)\vec{a}_x + (2yz + z^2)\vec{a}_y + (2y^2z - z^2)\vec{a}_z$ ;

c) Demonstração (Notar que  $\Delta S = b^2$  e que em P,  $x = 0$ ,  $y = 2$ ,  $z = 0$ ).

- 7.8) Seja uma espira circular de raio  $\rho = a$ , situada no plano  $z = 0$ , na qual circula uma corrente  $I$  no sentido anti-horário. Determinar no ponto P(0,0,h):

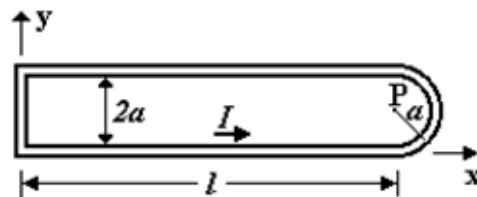
- O campo magnético  $\vec{H}$ ;
- O potencial magnético  $V_m$ , supondo a referência de potencial zero no infinito.

Respostas: a)  $\vec{H} = \frac{I a^2}{2(z^2 + a^2)^{3/2}} \vec{a}_z = \frac{I a^2}{2(h^2 + a^2)^{3/2}} \vec{a}_z$ ; b)  $V_m = \frac{I}{2} \left( 1 - \frac{h}{\sqrt{h^2 + a^2}} \right)$



7.9) Determinar no ponto P da figura abaixo, as contribuições para a intensidade do campo magnético  $\vec{H}$  causadas por I (sentido anti-horário) para:

- A seção semi-circular de raio  $a$ ;
- Os 2 condutores horizontais de comprimento  $l$ ;
- O condutor vertical de comprimento  $2a$ ;
- Repetir o item (b) supondo  $l \gg a$ ;
- Repetir o item (c) supondo  $l \gg a$ .



Respostas: a)  $\vec{H} = \frac{I}{4a} \vec{a}_z$ ; b)  $\vec{H} = \frac{Il}{2\pi a \sqrt{l^2 + a^2}} \vec{a}_z$ ; c)  $\vec{H} = \frac{Ia}{2\pi l \sqrt{l^2 + a^2}} \vec{a}_z$ ;

d)  $\vec{H} = \frac{I}{2\pi a} \vec{a}_z$ ; e)  $\vec{H} = \frac{Ia}{2\pi l^2} \vec{a}_z$

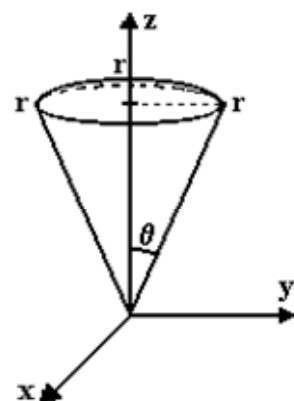
7.10) Dado  $\vec{H} = \frac{10r^2}{\sin\theta} \vec{a}_\theta + 180r \cos\theta \vec{a}_\phi$ , no espaço livre, determinar:

- $\vec{\nabla} \times \vec{H}$ ;
- a corrente que sai da superfície cônica  $\theta = 30^\circ$ ,  $0 \leq \phi \leq 2\pi$ ,  $0 \leq r \leq 2$ , usando um dos lados do teorema de Stokes;
- usando o outro lado do teorema de Stokes, verificar o resultado anterior.

Respostas: a)  $\vec{\nabla} \times \vec{H} = \frac{180 \cos 2\theta}{\sin\theta} \vec{a}_r - 360 \cos\theta \vec{a}_\theta + \frac{30r}{\sin\theta} \vec{a}_\phi$ ;

b) 1º lado:  $\int_S \vec{\nabla} \times \vec{H} \cdot d\vec{S} = I = -360\sqrt{3}\pi = -1959 \text{ A}$ ;

c) 2º lado:  $\oint \vec{H} \cdot d\vec{L} = I = -360\sqrt{3}\pi = -1959 \text{ A}$



7.11) Três superfícies infinitas de corrente localizam-se, no vácuo, da seguinte maneira:  $100\vec{a}_x \text{ A/m}$  em  $z = 0$ ,  $-50\vec{a}_x \text{ A/m}$  em  $z = 4 \text{ m}$ , e  $-50\vec{a}_x \text{ A/m}$  em  $z = -4 \text{ m}$ .

- Sendo  $V_m = 0$  em  $P(1, 2, 3)$ , ache  $V_m$  em  $Q(1,5; 2,6; 3,7)$ .
- Sendo  $\vec{A} = 0$  em  $P(1, 2, 3)$ , ache  $\vec{A}$  em  $Q(1,5; 2,6; 3,7)$ .

Sugestão: Use a componente apropriada de  $\vec{B} = \vec{\nabla} \times \vec{A}$  e o seu conhecimento acerca da direção do vetor  $\vec{A}$ .

Respostas: a)  $V_m = 50y - 100 \Rightarrow V_{mQ} = 30 \text{ A}$ ;

b)  $\vec{A} = (-50\mu_0 z + 150\mu_0) \vec{a}_x \Rightarrow \vec{A}_Q = -44,0\vec{a}_x \text{ } \mu\text{Wb/m}$

7.12) Demonstre que o potencial vetor magnético para dois fios compridos, retos e paralelos, que

conduzem a mesma corrente I, em sentidos opostos, é:  $\vec{A} = \frac{\mu_0 I}{2\pi} \ln\left(\frac{r_2}{r_1}\right) \vec{a}_L$ , onde  $r_2$  e  $r_1$  são as distâncias dos fios ao ponto desejado e  $\vec{a}_L$  é o vetor unitário paralelo aos fios.

Resposta: Demonstração.



**Anotações**